Capítulo 3

CINEMATICA AVANZADA: EL DENAVIT-HARTENBERG CONVENCIÓN

En este capítulo desarrollamos las ecuaciones cinemáticas directas o de configuración para robots rígidos. El problema de la cinemática directa tiene que ver con la relación entre las articulaciones individuales del manipulador del robot y la posición y orientación de la herramienta o efector final. Expresado de manera más formal, el problema de la cinemática directa consiste en determinar la posición y orientación del efector final, dados los valores de las variables conjuntas del robot. Las variables articulares son los ángulos entre los eslabones en el caso de rótulas o rotacionales, y la extensión del eslabón en el caso de prismáticas o deslizantes. El problema de la cinemática directa debe contrastarse con el problema de la cinemática inversa, que se estudiará en el próximo capítulo, y que se ocupa de determinar los valores de las variables articulares que logran una posición y orientación deseadas para el efector final del robot.

3.1 Cadenas cinemáticas

Como se describe en el Capítulo 1, un robot manipulador se compone de un conjunto de enlaces conectados entre sí por varias articulaciones. Las articulaciones pueden ser muy simples, como una articulación giratoria o prismática, o pueden ser más complejas, como una articulación esférica. (Recuerde que una articulación giratoria es como

una bisagra y permite una rotación relativa alrededor de un solo eje, y una articulación prismática permite un movimiento lineal a lo largo de un solo eje, a saber, una extensión o retracción.) La diferencia entre las dos situaciones es que, en el primer caso, la articulación tiene solo un solo grado de libertad de movimiento: el ángulo de rotación en el caso de una articulación giratoria y la cantidad de desplazamiento lineal en el caso de una articulación prismática. Por el contrario, una articulación de rótula tiene dos grados de libertad. En este libro se supone que todas las juntas tienen un solo grado de libertad. Tenga en cuenta que la suposición no implica ninguna pérdida real de generalidad, ya que las articulaciones como una rótula (dos grados de libertad) o una muñeca esférica (tres grados de libertad) siempre se pueden considerar como una sucesión. de uniones de un solo grado de libertad con eslabones de longitud cero en el medio.

Con el supuesto de que cada articulación tiene un solo grado de libertad, la acción de cada articulación se puede describir mediante un solo número real: el ángulo de rotación en el caso de una articulación giratoria o el desplazamiento en el caso de una articulación prismática. . El objetivo del análisis cinemático directo es determinar el efecto acumulativo del conjunto completo de variables conjuntas. En este capítulo desarrollaremos un conjunto de convenciones que proporcionan un procedimiento sistemático para realizar este análisis. Por supuesto, es posible llevar a cabo un análisis de cinemática directa incluso sin respetar estas convenciones, como hicimos para el ejemplo del manipulador plano de dos vínculos en el Capítulo 1. Sin embargo, el análisis cinemático de un manipulador de n vínculos puede ser extremadamente complejo y las convenciones que se presentan a continuación simplifican considerablemente el análisis. Además, dan lugar a un lenguaje universal con el que los ingenieros de robots pueden comunicarse.

Un robot manipulador con n articulaciones tendrá n + 1 enlaces, ya que cada articulación conecta dos enlaces. Numeramos los nudos del 1 al n, y numeramos los eslabones del 0 al n, comenzando desde la base. Por esta convención, la articulación i conecta el enlace i – 1 al enlace i. Consideraremos que la ubicación de la articulación i es fija con respecto al vínculo i – 1. Cuando se acciona la articulación i, el vínculo i se mueve. Por lo tanto, el eslabón 0 (el primer eslabón) está fijo y no se mueve cuando se accionan las articulaciones. Por supuesto, el robot manipulador podría ser móvil (por ejemplo, podría montarse en una plataforma móvil o en un vehículo autónomo), pero no consideraremos este caso en el presente capítulo, ya que puede manejarse fácilmente ampliando ligeramente las técnicas. presentado aquí.

con el yo el conjunta, asociamos una variable conjunta, denotada por qi . En el caso de una articulación giratoria, qi es el ángulo de rotación, y en el caso de una

3.1. CADENAS CINEMATICAS

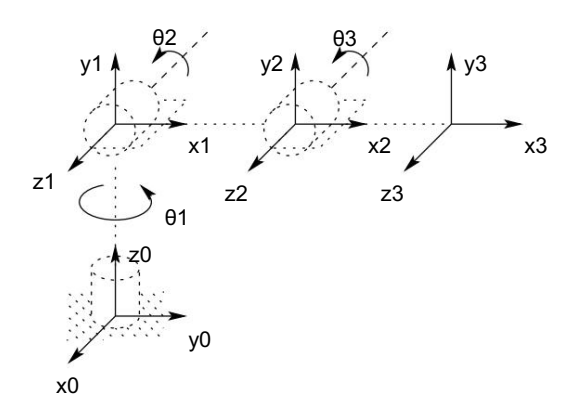


Figura 3.1: Marcos de coordenadas adjuntos al manipulador de codo.

articulación prismática, qi es el desplazamiento de la articulación:

Para realizar el análisis cinemático, adjuntamos rígidamente un marco de coordenadas a cada enlace. En particular, adjunto oixiyizi al enlace i. Esto significa que, independientemente del movimiento que ejecute el robot, las coordenadas de cada punto en el vínculo i son constantes cuando se expresan en el marco de coordenadas i. Además, cuando se activa la articulación i, el eslabón i y su marco adjunto, oixiyizi , experimentan un movimiento resultante. El marco o0x0y0z0, que está unido a la base del robot, se denomina marco inercial. La Figura 3.1 ilustra la idea de unir marcos rígidamente a los eslabones en el caso de un manipulador de codo.

Supongamos ahora que Ai es la matriz de transformación homogénea que expresa la posición y orientación de oixiyizi con respecto a oi-1xi-1yi-1zi-1.

La matriz Ai no es constante, sino que varía a medida que cambia la configuración del robot. Sin embargo, la suposición de que todas las articulaciones son giratorias o prismáticas significa que Ai es una función de una única variable conjunta, a saber, qi . En otras palabras,

$$Ai = Ai(qi). (3.2)$$

Ahora bien, la matriz de transformación homogénea que expresa la posición y orientación de ojxjyjzj con respecto a oixiyizi se denomina, por convención, matriz de transformación, y se denota por T j . Del capítulo 2 vemos que

$$T_j^i$$
 = Ai+1Ai+2 .. .Aj-1Aj si i < j

73

$$T_{j}^{i} = \text{yo si yo} = j$$
 (3.3)
 $T_{j}^{i} = (T_{j}^{i})^{-1} \text{ si } j > i.$

Por la forma en que hemos unido rígidamente los diversos marcos a los enlaces correspondientes, se deduce que la posición de cualquier punto en el efector final, cuando se expresa en el marco n, es una constante independiente de la configuración del robot. Denote la posición y orientación del efector final con respecto al marco de referencia o base mediante un O0 de tres vectores (que da las coordenadas del origen del marco del efector final con con respecto al marco base) y la matriz de rotación de 3 × 3 R0 n, y definir el matriz de transformación homogénea

Entonces la posición y orientación del efector final en el marco inercial son dados por

$$H = T$$
 $^{0} = A1(q1) \cdot \cdot \cdot An(qn)$. (3.5)

Cada transformación homogénea Ai es de la forma

ai =
$$\begin{array}{ccc} R_i - 1 & O_i^{i-1} \\ 0 & 1 \end{array}$$
 (3.6)

Por eso

$$T_{j}^{i} = Ai+1 \cdots Aj = 0$$

$$0$$

$$0$$

$$1$$

$$0$$

$$0$$

$$0$$

La matriz Ri expresa la orientación de ojxjyjzj relativa a oixiyizi y está dada por las partes rotacionales de las matrices A como

$$R_{j}^{i} = R_{yo+1}^{i} \cdots R_{j}^{i} -1.$$
 (3.8)

Los vectores de coordenadas Oi vienen dadas recursivamente por la fórmula

$$O_{j}^{i} = O_{j-1}^{i} + R_{j-1}^{i} O_{j}^{j-1},$$
 (3.9)

Estas expresiones serán útiles en el capítulo 5 cuando estudiemos las matrices jacobianas.

En principio, ¡eso es todo lo que hay que hacer para la cinemática directa! Determina el funciones Ai(qi), y multiplíquelas según sea necesario. Sin embargo, es posible lograr una cantidad considerable de racionalización y simplificación mediante introduciendo convenciones adicionales, como la representación Denavit-Hartenberg de una articulación, y este es el objetivo del resto del capítulo.

3.2 Representación de Denavit Hartenberg

Si bien es posible realizar todo el análisis de este capítulo usando un marco arbitrario adjunto a cada enlace, es útil ser sistemático en la elección de estos marcos. Una convención comúnmente utilizada para seleccionar marcos de referencia en aplicaciones robóticas es la convención Denavit-Hartenberg o DH. En esta convención, cada transformación homogénea Ai se representa como un producto de cuatro transformaciones básicas

$$\text{Ai = Rz,} \theta \text{i Transz,} \text{diTransx,} \text{aiRx,} \alpha \text{i} \\ = \begin{cases} c\theta \text{i} - s\theta \text{i } 0 \text{ } 0 \text{ } c\theta \text{i } 0 \text{ } 0 \\ \text{Si} \\ 0 & 0 \text{ } 10 \\ 0 & 0 \text{ } 1 \text{ } 0 \text{ } 0 \end{cases} & 1000 \text{ ai } 0 \text{ } 1 \\ 0 & 0 \text{ } 100 \\ 0 & 0 \text{ } 1 \text{ } 0 \text{ } 0 \text{ } 0 \end{cases} & 000 \\ 0 & 0 \text{ } 100 \\ 0 & 0 \text{ } 1 \text{ } 0 \text{ } 0 \text{ } 0 \text{ } 1 \end{cases} & 000 \text{ ai } 0 \text{ } 1 \\ 0 & 0 \text{ } 0 \text{ } 1 \text{ } 0 \text{ } 0 \text{ } 0 \text{ } 1 \end{cases} \\ = c\theta \text{i } c\alpha \text{i } s\theta \text{i } s\alpha \text{i } ai \text{s} \theta \text{i } s\theta \text{i } s\alpha \text{i } ai \text{s} \theta \text{i } 0 \text{ } 0 \text{ } 0 \text{ } 1 \end{cases} \\ = c\theta \text{i } c\alpha \text{i } -c\theta \text{i } s\alpha \text{i } ai \text{s} \theta \text{i } 0 \text{ } 0 \text{ } 0 \text{ } 1 \end{cases}$$

donde las cuatro cantidades θ i dj α j son parámetros asociados con el vínculo i y el nudo i. Los cuatro parámetros ai , α i , di y θ i en (3.10) generalmente reciben los nombres de longitud del vínculo, torsión del vínculo, desplazamiento del vínculo y ángulo de unión, respectivamente. Estos nombres se derivan de aspectos específicos de la relación geométrica entre dos marcos de coordenadas, como se verá a continuación. Dado que la matriz Ai es una función de una sola variable, resulta que tres de las cuatro cantidades anteriores son constantes para un vínculo dado, mientras que el cuarto parámetro, θ i para una articulación giratoria y di para una articulación prismática, es la variable conjunta .

Del Capítulo 2 se puede ver que una matriz de transformación homogénea arbitraria se puede caracterizar por seis números, como, por ejemplo, tres números para especificar la cuarta columna de la matriz y tres ángulos de Euler para especificar la matriz de rotación superior izquierda de 3×3 . . En la representación DH, en cambio, sólo hay cuatro parámetros. ¿Cómo es esto posible? La respuesta es que, si bien se requiere que el marco i esté unido rígidamente al vínculo i, tenemos una libertad considerable para elegir el origen y los ejes de coordenadas del marco. Por ejemplo, no es necesario que el origen, Oi , de la trama i se coloque en el extremo físico del enlace i. De hecho, ni siquiera es necesario que el marco i se coloque dentro del enlace físico; el marco i podría estar en el espacio libre, siempre que el marco i esté rígidamente unido al eslabón i. Mediante una elección inteligente del origen y los ejes de coordenadas, es posible reducir el número de parámetros

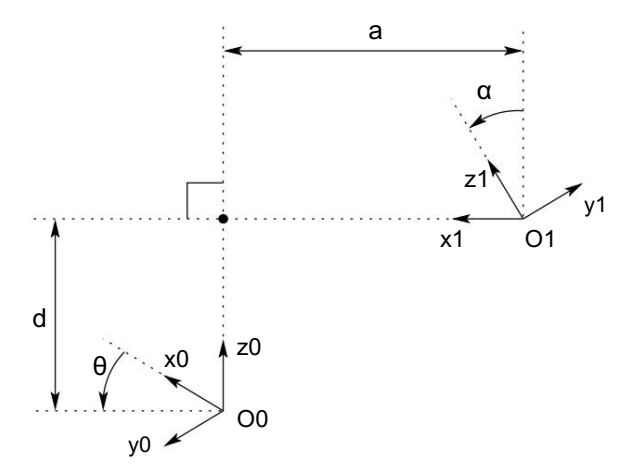


Figura 3.2: Marcos de coordenadas que satisfacen los supuestos DH1 y DH2.

necesarios de seis a cuatro (o incluso menos en algunos casos). En la Sección 3.2.1 mostraremos por qué y bajo qué condiciones se puede hacer esto, y en la Sección 3.2.2 mostraremos exactamente cómo hacer las asignaciones de marcos de coordenadas.

3.2.1 Cuestiones de existencia y singularidad

Claramente, no es posible representar ninguna transformación homogénea arbitraria usando solo cuatro parámetros. Por lo tanto, comenzamos por determinar qué transformaciones homogéneas pueden expresarse en la forma (3.10). Supongamos que nos dan dos marcos, indicados por los marcos 0 y 1, respectivamente. Entonces existe una única matriz de transformación homogénea A que toma las coordenadas del marco 1 en las del marco 0. Ahora suponga que los dos marcos tienen dos características adicionales, a saber:

(DH1) El eje x1 es perpendicular al eje z0

(DH2) El eje x1 corta al eje z0

como se muestra en la Figura 3.2. Bajo estas condiciones, afirmamos que existen números únicos a, d, θ , α tales que

$$A = Rz, \theta Transz, d Transx, a Rx, \alpha. \qquad (3.11)$$

Por supuesto, dado que θ y α son ángulos, en realidad queremos decir que son únicos dentro de un múltiplo de 2π . Para mostrar que la matriz A se puede escribir en este

3.2. REPRESENTACIÓN DE DENAVIT HARTENBERG

forma, escribe A como

$$un = \begin{pmatrix} R0_1 & O0_1 \\ 0.1 \end{pmatrix}$$
 (3.12)

th y deja que ri denote la i columna de la matriz de rotación R0 1. ahora lo haremos examinar las implicaciones de las dos restricciones DH.

Si (DH1) se cumple, entonces x1 es perpendicular a z0 y tenemos $x1 \cdot z0 = 0$. Expresando esta restricción con respecto a 00x0y0z0, usando el hecho de que r1 es la representación del vector unitario x1 con respecto al marco 0, obtenemos

$$0 = x \qquad {}^{0}_{1} \cdot z_{0}^{0} \tag{3.13}$$

$$= [r11, r21, r31] \qquad ^{\mathsf{T}} \cdot [0, 0, 1] \mathsf{T} \tag{3.14}$$

$$= r31.$$
 (3.15)

Como r31 = 0, ahora solo necesitamos mostrar que existen ángulos únicos θ y tal que

$$R_{1}^{0} = Rx, \theta Rx, \alpha =$$

$$R_{2}^{0} = Rx, \theta Rx, \alpha =$$

$$R_{3}^{0} = Rx, \alpha =$$

La única información que tenemos es que r31 = 0, pero esto es suficiente. Primero, ya que cada fila y columna de R0 debe tener longitud unitaria, r31 = 0 implica que

$$r_{112}^2 + 2r_1^2 = 1,$$
 $r_{323}^* r_1^2 = 1$ (3.17)

Por lo tanto, existen únicos θ , α tales que

$$(r11,r21) = (c\theta,s\theta),$$
 $(r33,r32) = (c\alpha,s\alpha).$ (3.18)

Una vez que se encuentran θ y α , es rutinario mostrar que los elementos restantes de R0 1 debe tener la forma que se muestra en (3.16), utilizando el hecho de que R0 es una rotación matriz.

A continuación, la suposición (DH2) significa que el desplazamiento entre O0 y O1 se puede expresar como una combinación lineal de los vectores z0 y x1. Este se puede escribir como O1 = O0 + dz0 + ax1. Nuevamente, podemos expresar esta relación nave en las coordenadas de o0x0y0z0, y obtenemos

$$O_1^0 = O_0^0 + dzO_0 + hachaQ$$
 (3.19)

77

$$= \begin{array}{c} ac\theta \\ & \\ como \theta \\ & d \end{array} \qquad (3.21)$$

Combinando los resultados anteriores, obtenemos (3.10) como se afirma. Así, vemos que cuatro parámetros son suficientes para especificar cualquier transformación homogénea que satisfaga las restricciones (DH1) y (DH2).

Ahora que hemos establecido que cada matriz de transformación homogénea que satisface las condiciones (DH1) y (DH2) anteriores se puede representar en la forma (3.10), de hecho podemos dar una interpretación física a cada una de las cuatro cantidades en (3.10). El parámetro a es la distancia entre los ejes z0 y z1, y se mide a lo largo del eje x1. El ángulo α es el ángulo entre los ejes z0 y z1, medido en un plano normal a x1. El sentido positivo de α se determina de z0 a z1 mediante la regla de la mano derecha, como se muestra en la figura 3.3. El parámetro d es la distancia entre el origen

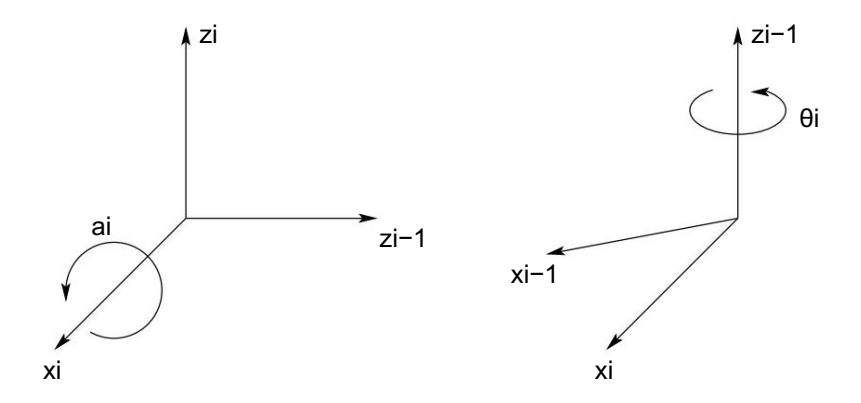


Figura 3.3: Sentido positivo de α i y θ i .

O0 y la intersección del eje x1 con z0 medido a lo largo del eje z0.

Finalmente, θ es el ángulo entre x0 y x1 medido en un plano normal a z0.

Estas interpretaciones físicas resultarán útiles para desarrollar un procedimiento para asignar marcos de coordenadas que satisfagan las restricciones (DH1) y (DH2), y ahora centraremos nuestra atención en desarrollar dicho procedimiento.

3.2.2 Asignación de los marcos de coordenadas

Para un manipulador de robot dado, siempre se pueden elegir los marcos 0,...,n de tal manera que se cumplan las dos condiciones anteriores. En ciertas circunstancias, esto requerirá colocar el origen Oi del marco i en una ubicación que puede no ser intuitivamente satisfactoria, pero normalmente este no será el caso. Al leer el material a continuación, es importante tener en cuenta que las opciones de los diversos marcos de coordenadas no son únicas, incluso cuando están limitadas por los requisitos anteriores. Por lo tanto, es posible que diferentes ingenieros obtengan asignaciones de marcos de coordenadas diferentes, pero igualmente correctas, para los enlaces del robot. Es muy importante notar, sin embargo, que el resultado final (es decir, los marcos de enlace intermedios de la matriz T (asumiendo que los marcos de ") será el mismo, independientemente de la asignación de coordenadas para el enlace n coinciden). Comenzaremos derivando el procedimiento general. Luego discutiremos varios casos especiales donde es posible simplificar aún más la matriz de transformación homogénea.

Para empezar, tenga en cuenta que la elección de zi es arbitraria. En particular, de (3.16) vemos que al elegir α i y θ i apropiadamente, podemos obtener cualquier dirección arbitraria para zi . Así, para nuestro primer paso, asignamos los ejes z $0,\ldots,$ zn-1 de una manera intuitivamente agradable. En concreto, asignamos a zi el eje de actuación de la articulación i + 1. Así, z0 es el eje de actuación de la articulación 1, z1 es el eje de actuación de la articulación 2, etc. Hay dos casos a considerar: (i) si la articulación i + 1 es giratoria, zi es el eje de revolución de la articulación i + 1; (ii) si la articulación i + 1 es prismática, zi es el eje de traslación de la articulación i + 1. Al principio puede parecer un poco confuso asociar zi con la articulación i + 1, pero recuerda que esto satisface la convención que establecimos en la Sección 3.1, a saber, que la articulación i está fija con respecto al marco i, y que cuando se acciona la articulación i, el eslabón i y su marco adjunto, oixiyizi , experimentan un movimiento resultante.

Una vez que hemos establecido los ejes z para los enlaces, establecemos el marco base. La elección de un marco base es casi arbitraria. Podemos elegir que el origen O0 del marco base sea cualquier punto en z0. Luego elegimos x0, y0 de cualquier manera conveniente siempre que el marco resultante sea diestro. Esto configura el cuadro 0.

Una vez que se ha establecido el marco 0, comenzamos un proceso iterativo en el que definimos el marco i usando el marco i – 1, comenzando con el marco 1. La figura 3.4 será útil para comprender el proceso que ahora describimos.

Para configurar el marco i es necesario considerar tres casos: (i) los ejes zi-1, zi no son coplanares, (ii) los ejes zi-1, zi se intersecan (iii) los ejes zi-1, zi son paralelos. Tenga en cuenta que en ambos casos (ii) y (iii) los ejes zi-1 y zi son coplanares. De hecho, esta situación es bastante común, como veremos en

Figura 3.4: Asignación de tramas Denavit-Hartenberg.

Sección 3.3. Consideremos ahora cada uno de estos tres casos.

(i) zi-1 y zi no son coplanares: si zi-l y zi no son coplanares, entonces existe un único segmento de línea perpendicular tanto a zi-1 como a zi tal que conecta ambas líneas y tiene una longitud mínima. La línea que contiene esta normal común a zi-1 y zi define xi y el punto donde esta línea se cruza con zi es el origen Oi . Por construcción, ambas condiciones (DH1) y (DH2) se cumplen y el vector de Oi-1 a Oi es una combinación lineal de zi-1 y xi . La especificación del marco i se completa eligiendo el eje yi para formar un marco de la derecha. Dado que se cumplen los supuestos (DH1) y (DH2), la matriz de transformación homogénea Ai tiene la forma (3.10).

(ii) zi-1 es paralelo a zi: si los ejes zi-1 y zi son paralelos, entonces hay infinitas normales comunes entre ellos y la condición (DH1) no especifica xi por completo. En este caso, somos libres de elegir el origen Oi en cualquier lugar a lo largo de zi . A menudo se elige Oi para simplificar las ecuaciones resultantes.

Entonces, el eje xi se elige para que esté dirigido desde Oi hacia zi-1, a lo largo de la normal común, o como el opuesto de este vector. Un método común para elegir Oi es elegir la normal que pasa por Oi-1 como el eje xi ; Oi es entonces el punto en el que esta normal se cruza con zi . En este caso, di sería igual a cero. Una vez que se fija xi , se determina yi , como de costumbre, por la regla de la mano derecha. Como los ejes zi-1 y zi son paralelos, αi será cero en este caso.

(iii) zi-1 corta a zi: En este caso , xi se elige normal al plano formado por zi y zi-1. La dirección positiva de xi es arbitraria. lo mas

elección natural para el origen Oi en este caso está en el punto de intersección de zi y zi-1. Sin embargo, cualquier punto conveniente a lo largo del eje zi es suficiente. Tenga en cuenta que en este caso el parámetro ai es igual a 0.

Este procedimiento constructivo funciona para tramas 0,...,n – I en un robot de enlace n. Para completar la construcción, es necesario especificar el marco n.

El sistema de coordenadas final onxnynzn se conoce comúnmente como el efector final o el marco de la herramienta (consulte la Figura 3.5). El origen On es más a menudo

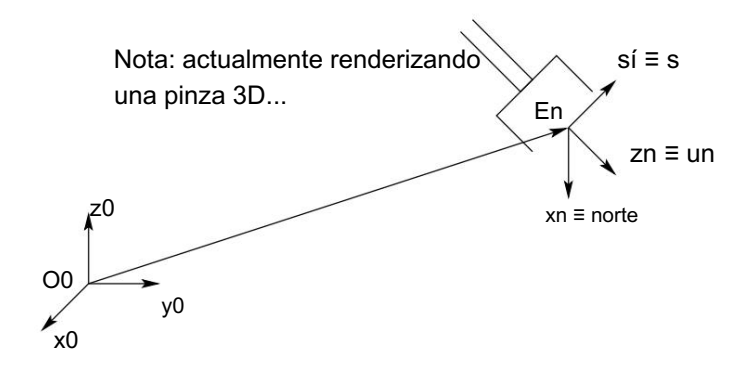


Figura 3.5: Asignación de cuadros de herramientas.

colocados simétricamente entre los dedos de la pinza. Los vectores unitarios a lo largo de los ejes xn, yn y zn están etiquetados como n, s y a, respectivamente. La terminología surge del hecho de que la dirección a es la dirección de aproximación, en el sentido de que la pinza normalmente se acerca a un objeto a lo largo de la dirección a . De manera similar, la dirección s es la dirección de deslizamiento, la dirección a lo largo de la cual los dedos de la pinza se deslizan para abrirse y cerrarse, y n es la dirección normal al plano formado por a y s.

En los robots contemporáneos, el movimiento final de la articulación es una rotación del efector final por θn y los dos ejes finales de la articulación, zn-1 y zn, coinciden. En este caso, la transformación entre los dos marcos de coordenadas finales es una traslación a lo largo de zn-1 por una distancia dn seguida (o precedida) por una rotación de θn radianes alrededor de zn-1. Esta es una observación importante que simplificará el cálculo de la cinemática inversa en el próximo capítulo.

Finalmente, tenga en cuenta el siguiente hecho importante. En todos los casos, ya sea que la articulación en cuestión sea giratoria o prismática, las cantidades ai y α i son siempre constantes para todo i y son características del manipulador. Si la articulación i es prismática, entonces θ i también es una constante, mientras que di es la i. Si la el variable conjunta. Similarmente, articulación i es giratoria, entonces di es constante y θ i es la i.

3.2.3 Resumen

Podemos resumir el procedimiento anterior basado en la convención DH en el siguiente algoritmo para derivar la cinemática directa para cualquier manipulador.

- Paso I: Ubique y etiquete los ejes de articulación z0,...,zn-1.
- Paso 2: Establecer el marco base. Establezca el origen en cualquier lugar del eje z0.

 Los ejes x0 e y0 se eligen convenientemente para formar un marco de mano derecha.
 - Para i = 1, ..., n 1, realice los pasos 3 a 5.
- Paso 3: Ubique el origen Oi donde la normal común a zi y zi-1 se cruza con zi . Si zi se cruza con zi-1, localice Oi en esta intersección. Si zi y zi-1 son paralelos, ubique Oi en cualquier posición conveniente a lo largo de zi .
- Paso 4: Establezca xi a lo largo de la normal común entre zi-1 y zi a través o en la dirección Oye, normal al plano zi-1 - zi si zi-1 y zi se cruzan.
- Paso 5: Establezca yi para completar un marco de mano derecha.
- Paso 6: establecer el marco del efector final en xnynzn. Suponiendo que la n-ésima articulación es giratoria, establezca zn = a a lo largo de la dirección zn-1. Establezca el origen On convenientemente a lo largo de zn, preferiblemente en el centro de la pinza o en la punta de cualquier herramienta que lleve el manipulador. Establezca yn = s en la dirección del cierre de la pinza y establezca xn = n como s × a. Si la herramienta no es una pinza simple, ajuste xn e yn convenientemente para formar un marco de mano derecha.
- Paso 7: Cree una tabla de parámetros de enlace ai , di , ai , θi .
 - ai = distancia a lo largo de xi desde Oi hasta la intersección de xi y zi-1
 - di = distancia a lo largo de zi-1 desde Oi-1 hasta la intersección de los ejes xi y zi-1 . di es variable si la articulación i es prismática. αi = el
 - ángulo entre zi−1 y zi medido con respecto a xi (ver Figura 3.3).
 - θi = el ángulo entre xi-1 y xi medido con respecto a zi-1 (ver Figura 3.3). θi es variable si la articulación i es giratoria.
- Paso 8: Forme las matrices de transformación homogéneas Ai sustituyendo los parámetros anteriores en (3.10).

3.3. EJEMPLOS 83

Paso 9: Formulario T = A1 · · · An. Esto luego da la posición y orientación. del marco de la herramienta expresado en coordenadas base.

3.3 Ejemplos

En la convención DH, el único ángulo variable es θ , por lo que simplificamos la notación escribiendo ci para $\cos\theta i$, etc. También denotamos $\theta 1 + \theta 2$ como $\theta 12$ y $\cos(\theta 1 + \theta 2)$ como c12, y así sucesivamente. En los siguientes ejemplos, es importante recordar que la convención DH, aunque sistemática, aún permite una libertad considerable en la elección de algunos de los parámetros del manipulador. Esto es particularmente cierto en el caso de ejes de articulaciones paralelas o cuando se trata de articulaciones prismáticas.

Ejemplo 3.1 Manipulador de codo plano

Considere el brazo plano de dos vínculos de la figura 3.6. Los ejes de articulación z0 y

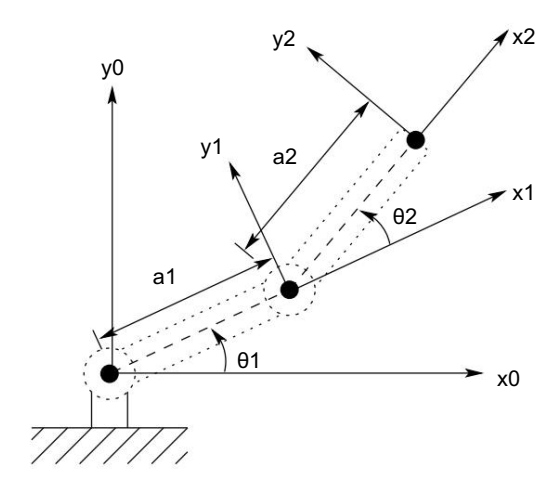


Figura 3.6: Manipulador plano de dos vínculos. Todos los ejes z apuntan fuera de la página y no se muestran en la figura.

z1 son normales a la página. Establecemos el marco base o0x0y0z0 como se muestra. El origen se elige en el punto de intersección del eje z0 con la página y la dirección del eje x0 es completamente arbitraria. Una vez que se establece el marco base, el marco o1x1y1z1 se fija como se muestra en la convención DH, donde el origen O1 se ha ubicado en la intersección de z1 y la página.

El cuadro final o2x2y2z2 se fija eligiendo el origen O2 al final del enlace 2 como se muestra. Los parámetros del enlace se muestran en la Tabla 3.1. Las matrices A son

Tabla 3.1: Parámetros de enlace para manipulador plano de 2 enlaces.

Enlace	ai αi α	di θi	
1	a1 0	0 θ	1
2	a2 0	0 0	2

variable

determinado a partir de (3.10) como

c2 -s2 0 a2c2

$$A2 = \begin{cases} s2 c2 0 & 0 a2s2 \\ 0 & 1 0 \\ 0 & 0 & 1 \end{cases}$$
 (3.23)

Las matrices T están dadas por lo tanto por

$$T_1^0 = A1.$$
 (3.24)

c12 -s12 0 a1c1 + a2c12

Observe que las dos primeras entradas de la última columna de T_2^0 son la x y la y componentes del origen O2 en el marco base; eso es,

$$x = a1c1 + a2c12$$
 (3.26)
 $y = a1s1 + a2s12$

son las coordenadas del efector final en el marco base. La parte rotacional de T_2^0 da la orientación del marco o2x2y2z2 en relación con el marco base.

Ejemplo 3.2 Robot cilíndrico de tres vínculos

Considere ahora el robot cilíndrico de tres eslabones representado simbólicamente por Figura 3.7. Establecemos O0 como se muestra en la articulación 1. Tenga en cuenta que la colocación de

3.3. EJEMPLOS 85

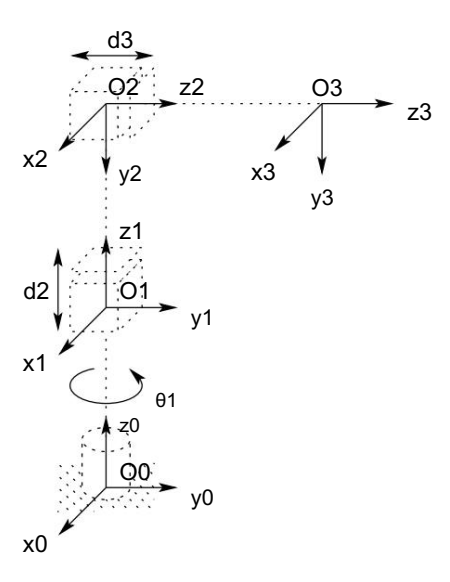


Figura 3.7: Manipulador cilíndrico de tres enlaces.

Tabla 3.2: Parámetros de enlace para manipulador cilíndrico de 3 enlaces.

Enlace	ai αi	0 0	di θ	i		
1			d1 (1		
2	0 –	90 d 0	2	0		
3		0 día	is ₃	0		
variable						

el origen O0 a lo largo de z0 así como la dirección del eje x0 son arbitrarios. Nuestra elección de O0 es la más natural, pero O0 también podría colocarse en la articulación 2. El eje x0 se elige normal a la página. Luego, dado que z0 y z1 coinciden, se elige el origen O1 en el nodo 1 como se muestra. El eje x1 es normal a la página cuando θ 1 = 0 pero, por supuesto, su dirección cambiará ya que θ 1 es variable. Como z2 y z1 se intersecan, el origen O2 se coloca en esta intersección. La dirección de x2 se elige paralela a x1 para que θ 2 sea cero.

Finalmente, el tercer cuadro se elige al final del enlace 3 como se muestra.

Los parámetros del enlace ahora se muestran en la Tabla 3.2. La A correspondiente

y las matrices T son

Ejemplo 3.3 Muñeca esférica

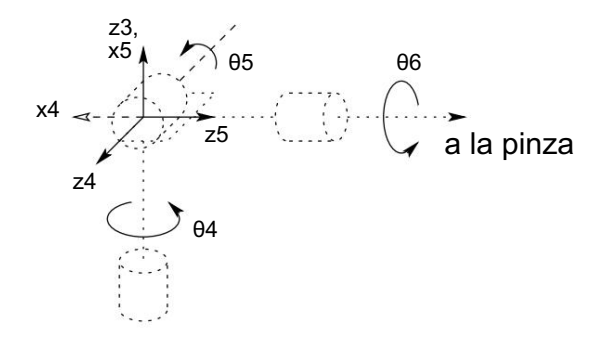


Figura 3.8: Asignación del marco de la muñeca esférica.

La configuración de la muñeca esférica se muestra en la Figura 3.8, en la que los ejes articulares z3, z4, z5 se cruzan en O. Los parámetros de Denavit-Hartenberg se muestran en la Tabla 3.3. El manipulador de Stanford es un ejemplo de manipulador que posee una muñeca de este tipo. De hecho, el siguiente análisis se aplica a prácticamente todas las muñecas esféricas.

3.3. EJEMPLOS 87

Tabla 3.3: Parámetros DH para muñeca esférica.

Enlace	ai α	i di (θі 0	-90	0	θ
4						4
5	0.9	0 0	θ	0		5
6		C)	d6 (þ	6
variable						

Mostramos ahora que las tres variables conjuntas finales, θ 4, θ 5, θ 6 son los ángulos de Euler ϕ , θ , ψ , respectivamente, con respecto al marco de coordenadas o3x3y3z3. Para ver esto, solo necesitamos calcular las matrices A4, A5 y A6 utilizando la tabla 3.3 y la expresión (3.10). Esto da

$$A4 = \begin{pmatrix} c4 & 0 & -s4 & 0 & s4 & 0 \\ c4 & 0 & 0 & -1 & 0 & 0 \\ 0 & 0 & 0 & 1 \\ c5 & 0 & s5 & s5 & 0 & 0 \\ -c5 & 0 & 0 & -1 & 0 & 0 \\ 0 & 0 & 0 & 1 & 0 \\ c6 & -s6 & 0 & 0 & s6 \\ c6 & 0 & 0 & 0 & 1 & d6 \\ 0 & 0 & 0 & 1 & 0 \\ 0 & 0 & 0 & 1 & 0 \\ 0 & 0 & 0 & 1 & 0 \\ (3.29)$$

$$(3.29)$$

$$(3.30)$$

$$(3.31)$$

Multiplicando estos rendimientos juntos

La comparación de la parte rotacion al R3 $_6^3$ con la transformación del ángulo de Euler de T ción (2.51) muestra que θ 4, θ 5, θ 6 se puede identificar como los ángulos de Euler ϕ , θ y ψ con respecto al marco de coordenadas o3x3y3z3.

Ejemplo 3.4 Manipulador cilíndrico con muñeca esférica

Suponga que ahora conectamos una muñeca esférica al manipulador cilíndrico del ejemplo 3.3.2 como se muestra en la figura 3.9. Tenga en cuenta que el eje de rotación de

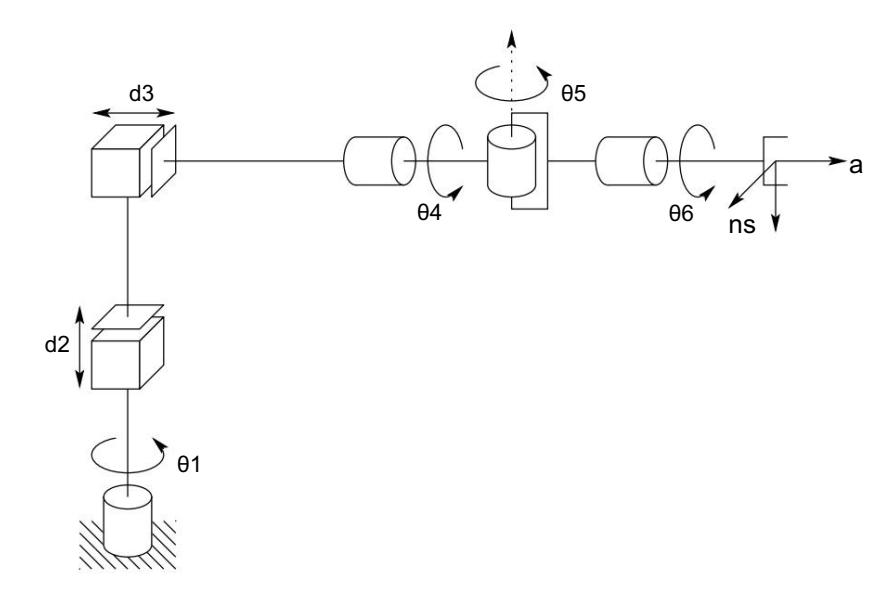


Figura 3.9: Robot cilíndrico con muñeca esférica.

la articulación 4 es paralela a z2 y por tanto coincide con el eje z3 del ejemplo 3.3.2. La implicación de esto es que podemos combinar inmediatamente las dos expresiones anteriores (3.28) y (3.32) para derivar la cinemática directa como

$$T_6^0 = T \quad {}_3^0 T_6^3$$
 (3.33)

con T $_3^0$ dado por (3.28) y T $_6^3$ dada por (3.32). Por lo tanto, la cinemática directa de este manipulador se describe mediante

$$T_{6}^{0} = \begin{array}{c} \text{c1 0 -s1 -s1d1 s1 0 c1} & \text{c4c5c6 - s4s6 - c4c5s6 - s4c6 c4s5 c4s5d6 s4c5c6 +} \\ \text{c1d3 0 -1 0 d1 + d2 0 0 0} & \text{c4s6 -s4c5s6 + c4c6 s4s5 s4s5d6 (3.34) c5d6 1} \\ & -\text{s5c6} & \text{s5c6} & \text{c5} \\ & 1 & 0 & 0 & 0 \\ \end{array}$$

$$= \begin{array}{c} \text{r11 r12 r13 dx} \\ \text{r21 r22 r23 dy} \\ \text{r31 r32 r33 dz} \\ \text{0 0 0} & 1 \\ \end{array}$$

3.3. EJEMPLOS 89

dónde

```
r11 = c1c4c5c6 - c1s4s6 + s1s5c6

r21 = s1c4c5c6 - s1s4s6 - c1s5c6

r31 = -s4c5c6 - c4s6

r12 = -c1c4c5s6 - c1s4c6 - s1s5c6

r22 = -s1c4c5s6 - s1s4s6 + c1s5c6

r32 = s4c5c6 - c4c6

r13 = c1c4s5 - s1c5

r23 = s1c4s5 + c1c5

r33 = -s4s5

dx = c1c4s5d6 - s1c5d6 - s1d3 dy = s1c4s5d6 + c1c5d6 + c1d3 dz = -s4s5d6 + d1 + d2.
```

Observe cómo la mayor parte de la complejidad de la cinemática directa de este manipulador resulta de la orientación del efector final, mientras que la expresión de la posición del brazo de (3.28) es bastante simple. La suposición de la muñeca esférica no solo simplifica aquí la derivación de la cinemática directa, sino que también simplificará en gran medida el problema de la cinemática inversa en el próximo capítulo.

Ejemplo 3.5 Manipulador de Stanford

Considere ahora el manipulador de Stanford que se muestra en la figura 3.10. Este manipulador es un ejemplo de un manipulador esférico (RRP) con una muñeca esférica. Este manipulador tiene un desplazamiento en la articulación del hombro que complica ligeramente los problemas de cinemática directa e inversa.

Primero establecemos los marcos de coordenadas conjuntas usando la convención DH como se muestra. Los parámetros del enlace se muestran en la Tabla 3.4.

Es sencillo calcular las matrices Ai como

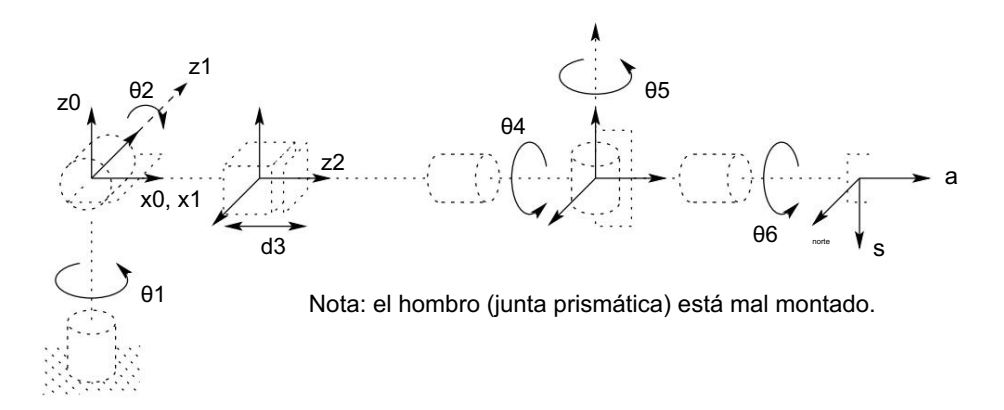


Figura 3.10: Asignación del marco de coordenadas DH para el manipulador de Stanford.

Tabla 3.4: Parámetros DH para el manipulador Stanford.

Enlac	e di	ai αi	θi 0 0	
1	-9	0	d2 0	
2	+90		0 0	
3	-		0	
4	0 0	-90		
500	+90	6	d6 0 0	

variable conjunta

3.3. EJEMPLOS 91

$$c5 0 s5 0 s5 0
-c5 0 0 -1 0 0 0
0 0 1$$
(3.39)

A6 =
$$\begin{array}{c} c6 - s6 \ 0 \ 0 \ c6 \ 0 \\ s6 \ 0 \ 0 \ 1 \ d6 \ 0 \\ 0 \ 0 \ 1 \end{array}$$
 (3.40)

T₆ entonces se da como

$$T_6^0$$
 = A1 · · · A6 (3.41)
r11 r12 r13 dx r21
= r22 r23 dy r31 r32
r33 dz 0 0 0 1 (3.42)

dónde

$$r11 = c1[c2(c4c5c6 - s4s6) - s2s5c6] - d2(s4c5c6 + c4s6) r21$$

$$= s1[c2(c4c5c6 - s4s6) - s2s5c6] + c1(s4c5c6 + c4s6) r31 =$$

$$- s2(c4c5c6 - s4s6) - c2s5c6 r12 =$$

$$c1[-c2(c4c5s6 + s4c6) + s2s5s6] - s1(-s4c5s6 + c4c6) r22 =$$

$$- s1[-c2(c4c5s6 + s4c6) + s2s5s6] + c1(-s4c5s6 + c4c6) r32 =$$

$$s2(c4c5s6 + s4c6) + c2s5s6 (3.43) r13 = c1(c2c4s5 + s2c5) - s1s4s5 r23 =$$

$$s1(c2c4s5 + s2c5) + c1s4s5$$

$$r33 = -s2c4s5 + c2c5$$

$$dx = c1s2d3 - s1d2 + d6(c1c2c4s5 + c1c5s2 - s1s4s5) dy =$$

$$s1s2d3 + c1d2 + d6(c1s4s5 + c2c4s1s5 + c5s1s2) dz =$$

$$c2d3 + d6(c2c5 - c4s2s5).$$

$$(3.44)$$

Ejemplo 3.6 Manipulador SCARA

Como otro ejemplo del procedimiento general, considere el manipulador SCARA de la figura 3.11. Este manipulador, que es una abstracción del robot AdeptOne de la figura 1.11, consta de un brazo RRP y una muñeca de un grado de libertad, cuyo movimiento es un giro sobre el eje vertical. La primera

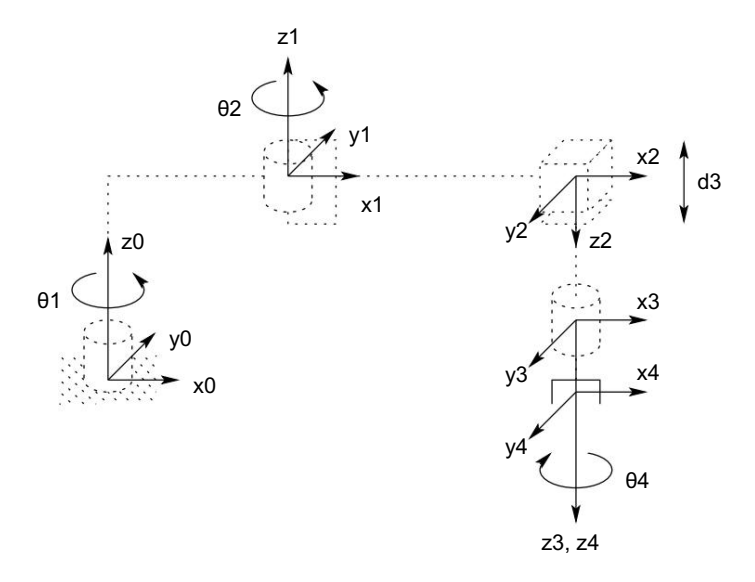


Figura 3.11: Asignación del marco de coordenadas DH para el manipulador SCARA.

Tabla 3.5: Parámetros conjuntos para SCARA.

Enlac	e ai	αi di (9i a1	0
1	0	a2 ⁻	180 0	
2		b d		
3	0			
4	0	0 d	4	

variable conjunta

El paso es ubicar y etiquetar los ejes de las articulaciones como se muestra. Dado que todos los ejes de las articulaciones son paralelos, tenemos cierta libertad en la ubicación de los orígenes. Los orígenes se colocan como se muestra por conveniencia. Establecemos el eje x0 en el plano de la página como se muestra. Esto es completamente arbitrario y solo afecta la configuración cero del manipulador, es decir, la posición del manipulador cuando $\theta1 = 0$.

Los parámetros conjuntos se dan en la Tabla 3.5, y las matrices A son como

3.3. EJEMPLOS 93

sigue.

$$A3 = \begin{cases} 1000 \\ 0100 \\ 001d300 \\ 01 \end{cases}$$
 (3.47)

$$A4 = \begin{array}{c} c4 - s4 \ 0 \ 0 \ s4 \\ c4 \ 0 \ 0 \ 0 \ 1 \ d4 \\ 0 \ 0 \ 0 \ 1 \end{array} \qquad (3.48)$$

Por lo tanto, las ecuaciones cinemáticas directas están dadas por

$$\mathsf{T}_{4}^{0} = \mathsf{A1} \cdots \mathsf{A4} = \begin{pmatrix} \mathsf{c12c4} + \mathsf{s12s4} - \mathsf{c12s4} + \mathsf{s12c4} & 0 & \mathsf{a1c1} + \mathsf{a2c12} \\ \mathsf{s12c4} - \mathsf{c12s4} - \mathsf{s12s4} - \mathsf{c12c4} & 0 & \mathsf{a1s1} + \mathsf{a2s12} \\ 0 & 0 & -1 & -\mathsf{d3} - \mathsf{d4} & 0 \end{pmatrix} \begin{pmatrix} \mathsf{3.49} \end{pmatrix}.$$

3.4 Problemas

- 1. Verifique el enunciado después de la Ecuación (3.18) de que la matriz de rotación R tiene la forma (3.16) siempre que se satisfagan los supuestos DH1 y DH2.
- 2. Considere el manipulador plano de tres vínculos que se muestra en la figura 3.12. Derivar

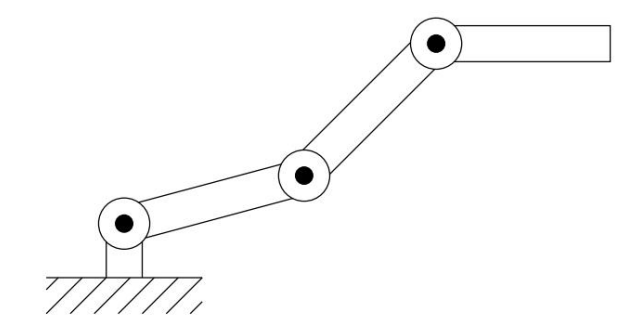


Figura 3.12: Brazo plano de tres vínculos del problema 3-2.

las ecuaciones cinemáticas directas utilizando la convención DH.

3. Considere el manipulador cartesiano de dos vínculos de la figura 3.13. Derivar

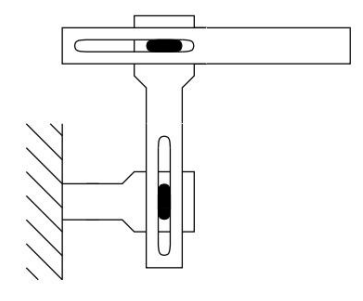


Figura 3.13: Robot cartesiano de dos vínculos del problema 3-3.

las ecuaciones cinemáticas directas utilizando la convención DH.

- 4. Considere el manipulador de dos vínculos de la figura 3.14 que tiene la articulación 1 giratoria y la articulación 2 prismática. Derive las ecuaciones cinemáticas directas utilizando la convención DH.
- 5. Considere el manipulador plano de tres vínculos de la figura 3.15 Deduzca el Ecuaciones cinemáticas directas utilizando la convención DH.

3.4. PROBLEMAS 95

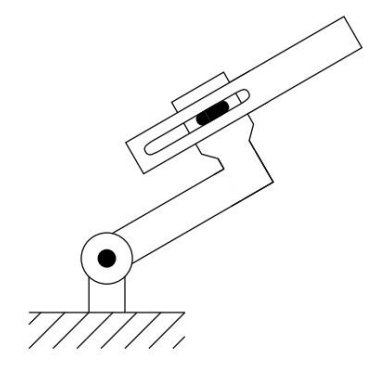


Figura 3.14: Brazo plano de dos vínculos del problema 3-4.

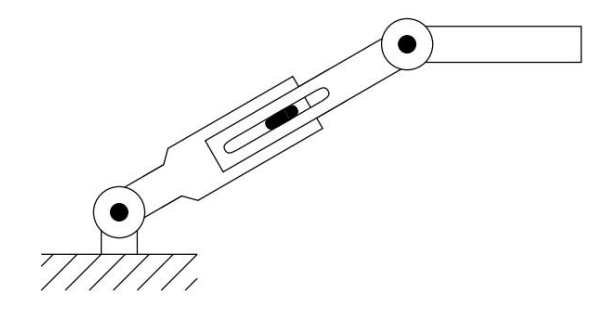


Figura 3.15: Brazo plano de tres eslabones con articulación prismática del problema 3-5.

- 6. Considere el robot articulado de tres eslabones de la figura 3.16. derivar el Ecuaciones cinemáticas directas utilizando la convención DH.
- 7. Considere el manipulador cartesiano de tres vínculos de la figura 3.17. Derive las ecuaciones cinemáticas directas utilizando la convención DH.
- 8. Conecte una muñeca esférica al manipulador articulado de tres eslabones del problema 3-6 como se muestra en la figura 3.18. Derive las ecuaciones cinemáticas directas para este manipulador.
- Conecte una muñeca esférica al manipulador cartesiano de tres vínculos del problema
 3-7, como se muestra en la figura 3.19. Derive las ecuaciones cinemáticas directas para este manipulador.
- 10. Considere el manipulador PUMA 260 que se muestra en la figura 3.20. Derive el conjunto completo de ecuaciones cinemáticas directas, estableciendo marcos de coordenadas DH apropiados, construyendo una tabla de parámetros de enlace, formando las matrices A, etc.

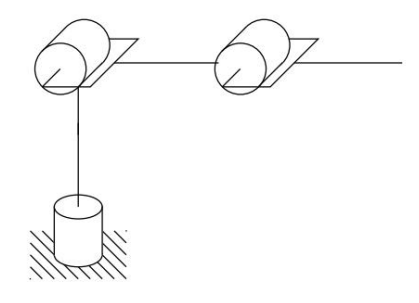


Figura 3.16: Robot articulado de tres brazos.

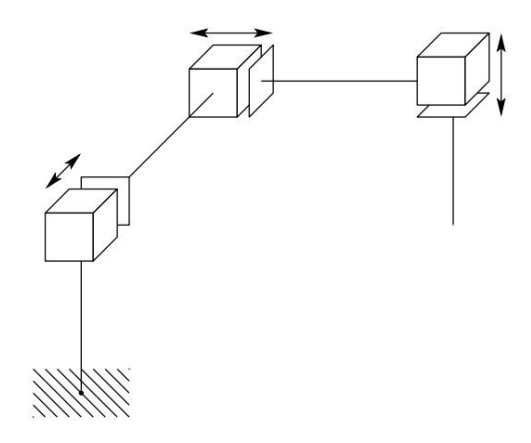


Figura 3.17: Robot cartesiano de tres enlaces.

- 11. Repita el problema 3-9 para el robot Rhino XR-3 de cinco grados de libertad que se muestra en la figura 3.21. (Nota: debe reemplazar la muñeca Rhino con la muñeca esférica).
- 12. Suponga que un Rhino XR-3 está atornillado a una mesa sobre la cual se establece un marco de coordenadas osxsyszs como se muestra en la Figura 3.22. (El marco osxsyxzs a menudo se conoce como el marco de la estación). Dado el marco base que estableció en el problema 3-11, encuentre la transformación homogénea T s que relaciona el marco base con el marco de la estación. Encuentre relacionando el marco la transformación homogénea T es el marco del efector final con de la estación. ¿Cuál es la posición y orientación del efector final en el marco de la estación cuando θ1 = θ2 = ··· = θ5 = 0?
- 13. Considere el robot GMF S-400 que se muestra en la figura 3.23 Dibuje la representación simbólica de este manipulador. Establezca marcos de coordenadas DH y escriba las ecuaciones cinemáticas directas.

3.4. PROBLEMAS 97

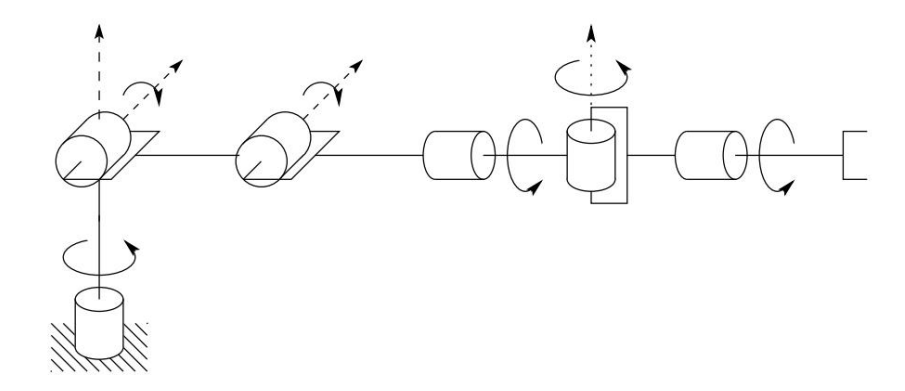


Figura 3.18: Manipulador de codo con muñeca esférica.

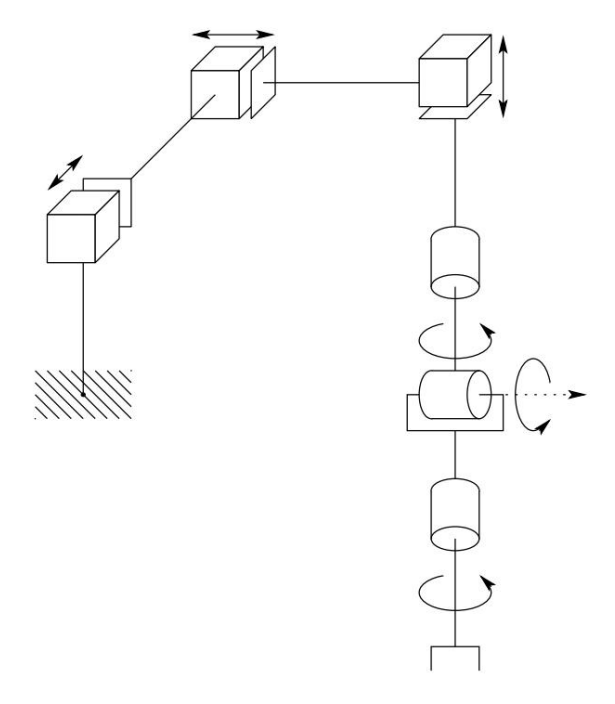


Figura 3.19: Manipulador cartesiano con muñeca esférica.

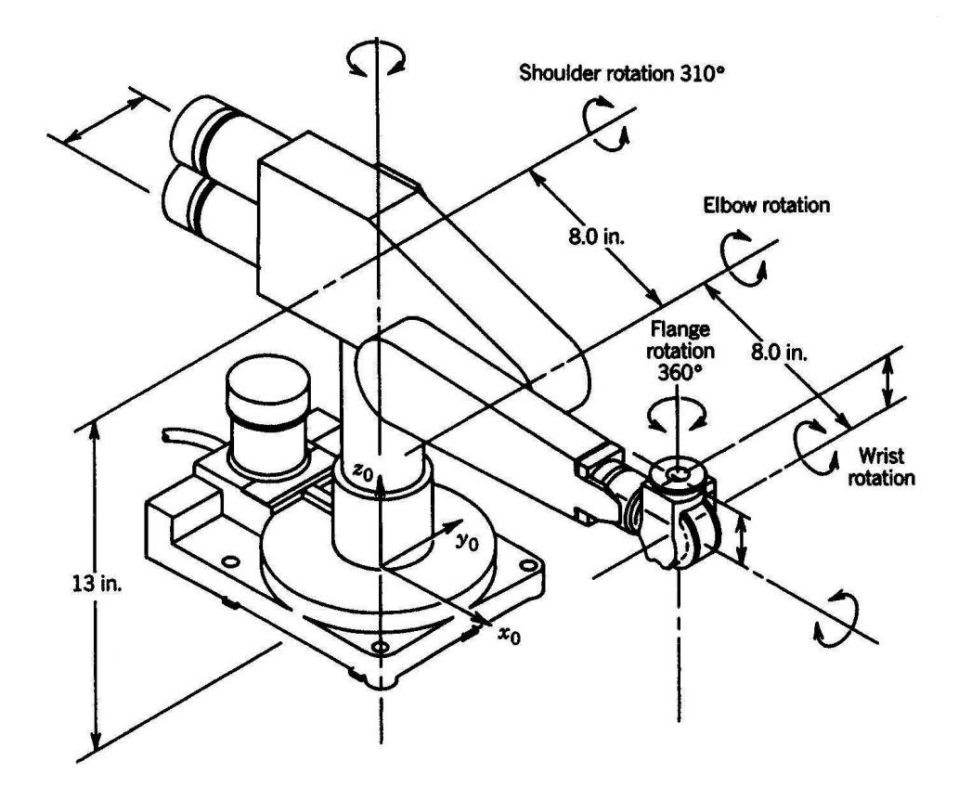


Figura 3.20: Manipulador PUMA 260.

3.4. PROBLEMAS 99

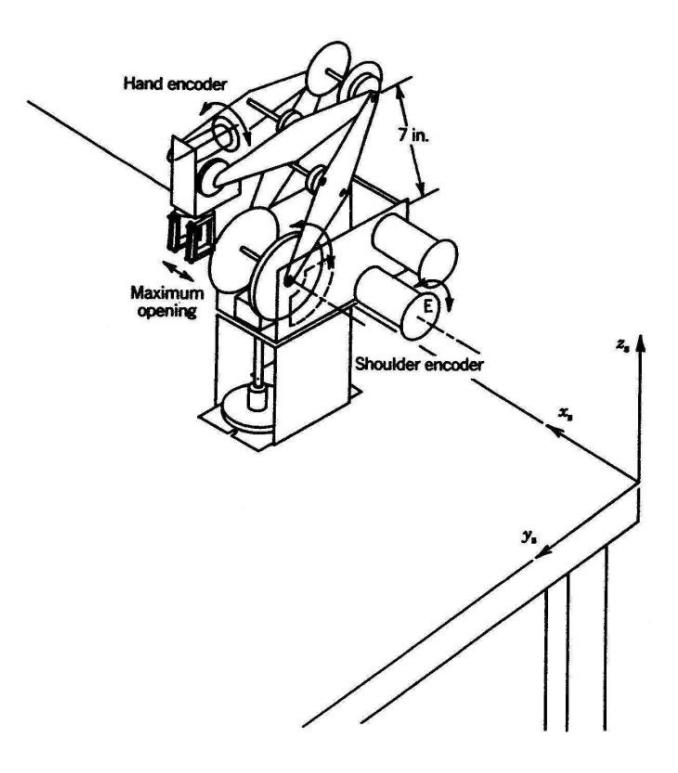


Figura 3.21: Robot Rhino XR-3.

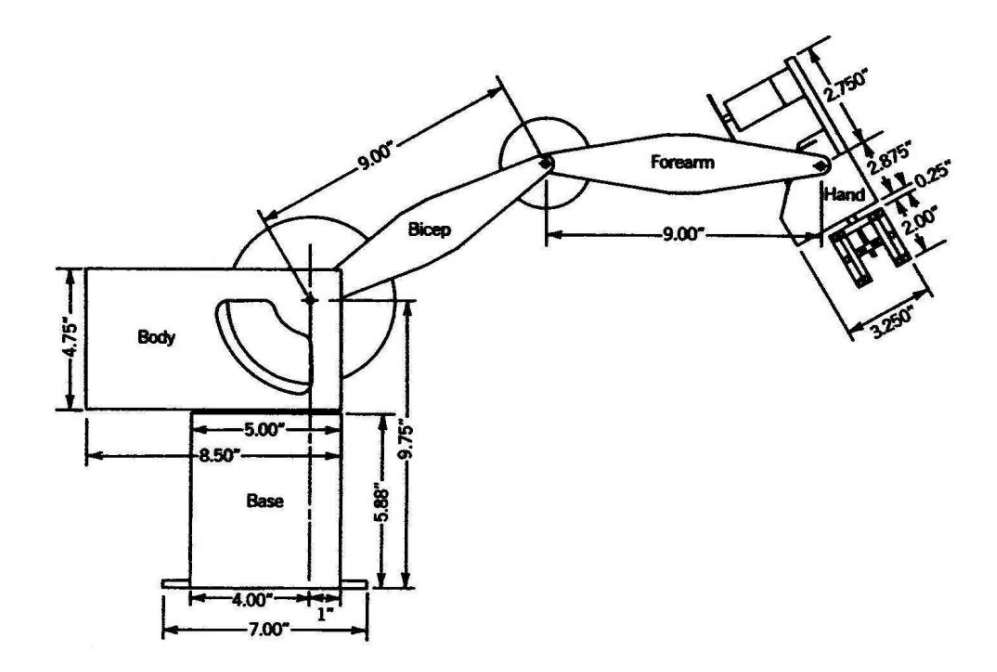


Figura 3.22: Robot Rhino sujeto a una mesa. De: Ingeniería de un robot Libro de texto, por Mohsen Shahinpoor. Copyright 1987, Harper & Row Publishers, Inc.

3.4. PROBLEMAS 101

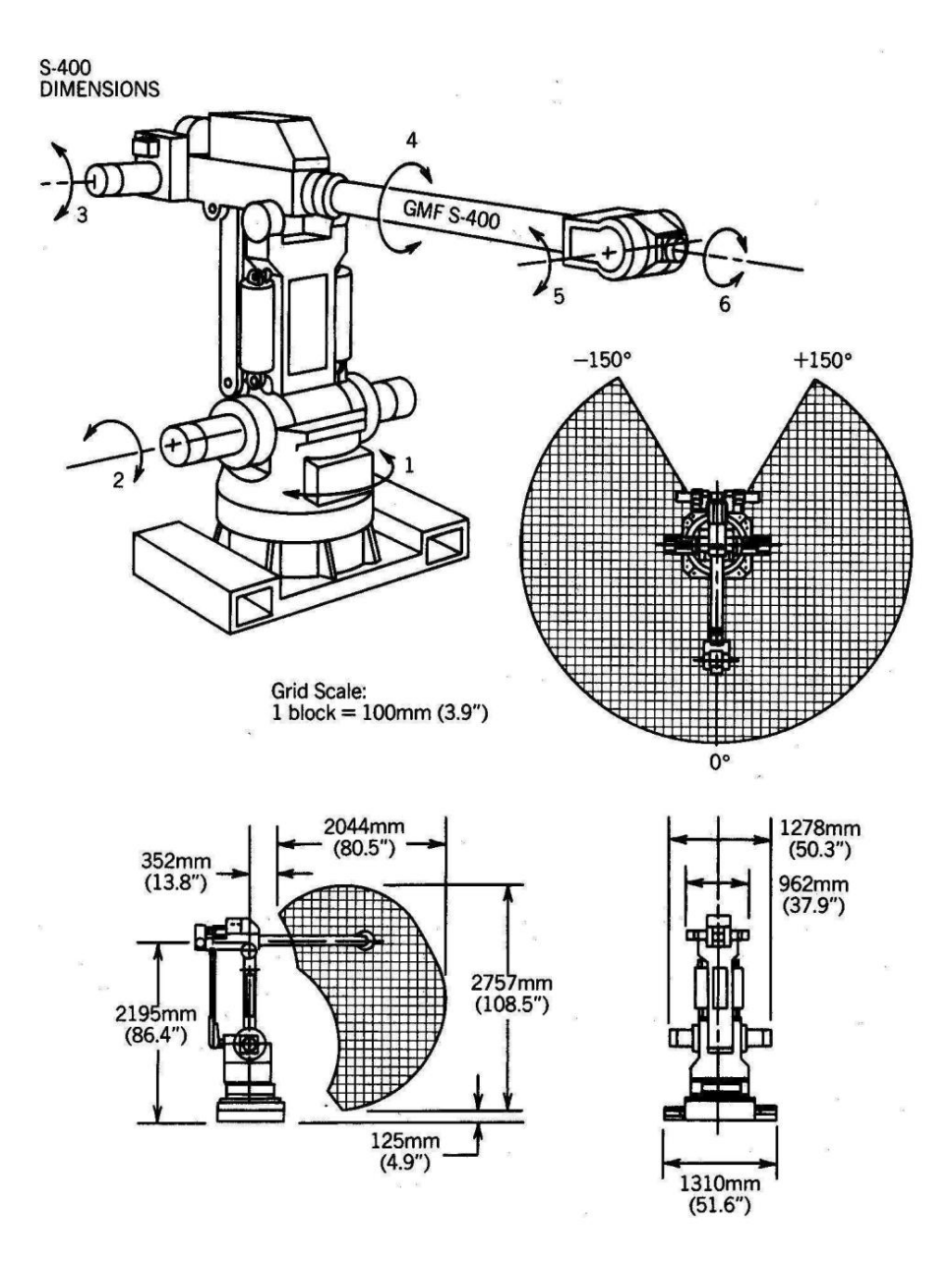


Figura 3.23: Robot GMF S-400. (Cortesía de GMF Robótica.)

Machine Translated by Google

102CAPÍTULO 3. CINEMÁTICA AVANZADA: LA CONVENCIÓN DE DENAVIT-HARTENBERG